

長大吊橋トラス補剛桁架設系のフランジャー特性に関する実験的研究

四国電力株) 正員 ○小林 修二
 京都大学工学部 正員 白石 成人
 京都大学工学部 正員 松本 勝
 京都大学大学院 学生員 小川 智治

1. すき 長大吊橋架設時の耐風応答特性に関する研究は、白木・福沢⁽¹⁾、横山・成田⁽²⁾等によって報告されており、架設時のフランジャー特性は各種パラメータの影響によつて様々に変化することが知られている。本研究では二次元剛体模型実験によつて架設時の耐風応答特性を復証するとともに実橋架設時の耐風特性を二次元実験の結果をもとに推定する手法について述べるものである。なお今回対象とした吊橋は本四連絡橋計画吊橋(中央径間長770m)であり、模型縮尺は1/346である。

2. 計算手法 二次元実験結果と実橋の空力特性との関連づけについては、過去に Bleich⁽³⁾、 Vincent⁽⁴⁾、 Scanlan⁽⁵⁾、 久保・伊藤・宮田⁽⁶⁾、 白石・小川⁽⁷⁾等による研究報告例がある。本研究では、対象断面に生ずるフランジャー振動を1自由度系振動と想定し、以下のようにして A_2^* (二次元実験より求められる非定常空気力係数)を実橋の振動モードを考慮することにより補正し、それによつて実橋の A-D-S 曲線を推定し、併せて風速分布が一様でない場合の応答性状を同手法を適用することでより評価しようとするものである。今、二次元模型実験にナリ得られる空力挙動は実橋でレインノルズ数による部分の挙動を表わし、振動モード間の連成は無視できる。この条件のもとでは実験より得られる非定常空気力係数 A_2^* を振り幅振幅(29)、ナリ数として次式のように近似；

$$A_2^* = \frac{1}{2} b_1 (2\bar{\rho})^2 = b_0 + b_1 (2\bar{\rho}) + b_2 (2\bar{\rho})^2 + b_3 (2\bar{\rho})^3 + \dots \quad \dots(1)$$

(左とさ実橋架設時の振り幅モードの振動方程式は以下のように表わし得る。

$$\ddot{\phi}_j + 2\omega_j \dot{\phi}_j + \omega_j^2 \phi_j = \left[\int_{-L}^L A_2^* \dot{\phi}_j + A_3 \theta \right] \phi_j dx + \int_{-L}^L (A_2 \dot{\phi}_j + A_3 \theta) \partial_x \phi_j dx / I_{eq}$$

$$= P_{bp}^* \omega_j \dot{\phi}_j + \int_{-L}^L A_2^* \phi_j^2 dx + \int_{-L}^L A_2 \phi_j^2 dx / I_{eq} \quad \dots(2)$$

$$= P_{bp}^* \omega_j \dot{\phi}_j + b_0 + b_1 (2\bar{\rho}) x_{ij} + b_2 (2\bar{\rho})^2 x_{ij} + b_3 (2\bar{\rho})^3 x_{ij} + \dots / I_{eq}$$

$$+ P_{bp}^* \omega_j^2 A_2^* \phi_j / I_{eq}$$

$$= P_{bp}^* \omega_j \dot{\phi}_j A_{2p}^* I_{eq} + P_{bp}^* \omega_j^2 A_2^* \phi_j / I_{eq} \quad \dots(2)$$

但し、 $\theta(x,t) = \int_0^x \phi_i(t) \phi_i(x) \phi_i P_i$; 振り幅モードの一般座標、モード周波数

$$A_2^* = A_2 / P_{bp}^* \omega$$

$$A_3^* = A_3 / P_{bp}^* \omega^2$$

$$L, L_1, L_2; 210\text{m長}, 44-$$

側が30°の水平張り出し

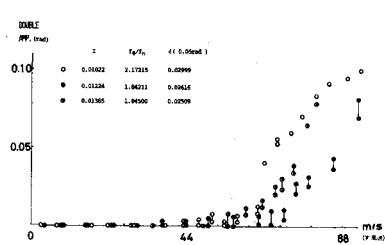
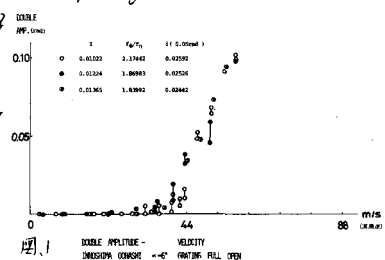
$$P, b; 空気密度、半弦長$$

$$\omega_1, \omega_2; 周期内振動数$$

振動時の周振動数

α_{ij}	$\int_0^L \Phi_i^3 dx$	$\int_0^L \Phi_i^4 dx$	$\int_0^L \Phi_i^5 dx$
架設長	$\int_0^L \Phi_j^2 dx$	$\int_0^L \Phi_j^3 dx$	$\int_0^L \Phi_j^4 dx$
100 %	Sy-1 0.8359	0.7315	0.6580
	As-1 0.8488	0.7500	0.6791
94.5 %	Sy-1 0.8115	0.6917	0.6074
	As-1 0.8855	0.8045	0.7425
71.5 %	As-1 0.8513	0.7541	0.6843

表1. 架設長に応じた補正係数の値



次に、風速分布加全スペシはわたつて一様ではない場合、 A_{sp}^* が変化するものと考えらる、この時の振動方程式は：

$$\ddot{\phi}_j + 2\omega_j \omega_{ij} \dot{\phi}_j + \omega_{ij}^2 \phi_j = P_{bj}^* \omega_j \phi_j + \int_{x_0}^{x_1} A_j^* \phi_j^2 dx + \int_{x_0}^{x_1} A_j^* \phi_j^2 dx / I_{eq} + \int_{x_0}^{x_1} A_j^* \phi_j^2 dx + P_{bj}^* \omega_j^2 A_j^* \phi_j / I_{eq} \\ = P_{bj}^* \omega_j \phi_j / b_0 \rho_{ej} + b_1 \beta_{ij} (2\bar{p}) + b_2 \beta_{ij} (2\bar{p})^2 + \dots / I_{eq} + P_{bj}^* \omega_j^2 A_j^* \phi_j / I_{eq} \quad \dots(3)$$

$\text{eq}(2), \text{eq}(3) / 2$ お 11 で α_{ij}, β_{ij} は各々以下の式で表わされる係数である。

$$\alpha_{ij} = \frac{\int_{x_0}^{x_1} \bar{\phi}_j^2 dx + \int_{x_0}^{x_1} \bar{\phi}_j^2 dx}{\int_{x_0}^{x_1} \bar{\phi}_j^2 dx + \int_{x_0}^{x_1} \bar{\phi}_j^2 dx}, \quad \beta_{ij} = \frac{\int_{x_0}^{x_1} \bar{\phi}_j^2 dx + \int_{x_0}^{x_1} \bar{\phi}_j^2 dx}{\int_{x_0}^{x_1} \bar{\phi}_j^2 dx + \int_{x_0}^{x_1} \bar{\phi}_j^2 dx} \quad \dots(4)$$

但し、 $x_1 \sim x_2, x_3 \sim x_4$; 柱のうち風の作用を受ける範囲

$\text{eq}(2), \text{eq}(3) / 2$ お 11 で α_{ij}, β_{ij} は各々以下の式で表わされる係数である。

3. 実験および計算結果 今回対象としたトラス補剛桁断面では、完成時架設系とともに迎え角 $\chi = 6^\circ, 3^\circ$ で振り振動の卓越したフランジャーの発現が認められた。二次元模型実験では $\chi = 6^\circ$ お 11 では 94.5% 架設系対称一次モードを対象とした場合がフランジャー限界風速が最も低く、 $\chi = 3^\circ$ お 11 では完成時加最モフランジャー限界風速が低いという結果が得られた。図 1, 2 は二次元実験結果の A-V 図を示す。図 3, 4 にはそれをもれ 94.5% 架設系の振り対称一次モードを対象とした二次元実験結果および公その結果を用いて $\text{eq}(2), \text{eq}(4) / 2$ お 11 により実橋のシミュレーションを行なった結果を示す。各架設系、各モード形状に対応して $\text{eq}(4)$ の α_{ij} は表 1 お 12 通りである。

図 3, 4 の比較から判明するように実験結果とシミュレーション結果とでは顕著な差異は現われていない。次に図 5, 6 は風速分布、迎え角分布が一様でない場合の $\text{eq}(4)$ の β_{ij} を用いての応答振幅の計算結果を示す。図 5, 6 お 11 によると風速迎え角の分布形状によれば補剛桁に一様に風加作用ある時よりもフランジャー限界風速が低下し、耐風安定上危険側に移行する事を示してある。

結論 以上のような実験計算結果より以下のことが結論である。

- (1) 架設系の実験にお 11 では完成時以上に振動特性(モード、振動数比、減衰)が大きさに影響を持つものと考えらる。
- (2) 風速分布特性の相異によつてフランジャー限界風速はかなり変化し、モードの影響も受けたため種々のケース図 4 について検討する必要がある。

参考文献 ①; 白木・福沢; 三菱技術 Vol. 7

②; 横山・成田; 土木学会第 31 回全国大会

③; F. Bleich; ASCE, 1948, Oct.

④; G. S. Vincent; Aerodynamic Stability of Large Bridges

⑤; R. H. Scanlan; ASCE, Str. Eng. Conf. 1967

⑥; 久保・伊藤・宮田; 土木学会第 30 回全国大会

⑦; 白木・小川; 土木学会論文報告集 No. 249

